

# 基于碲锌镉探测器和贝叶斯迭代Unfolding算法还原环境γ本底通量谱

刘泰员

2023/07/14

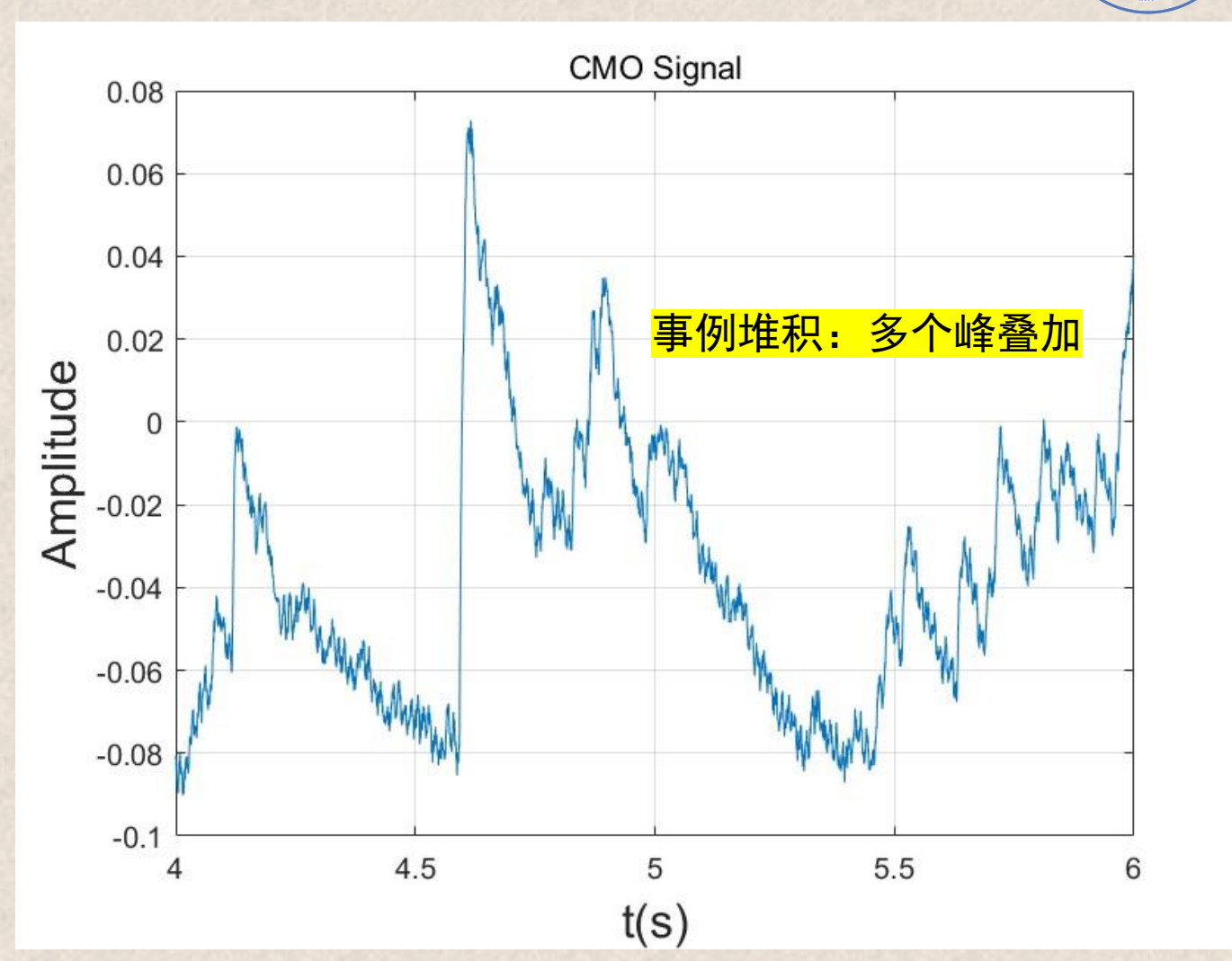
核探测与核电子学国家重点实验室 中国科学技术大学

### 研究背景



- CMO晶体声子信号衰减时间较长(100 ms量级)
- 地上实验, 无屏蔽体时本底计数率高
- 信号偶然符合增多,造成事例堆积(pile-up)
  - 基线漂移
  - 干扰脉冲信号分析
- 初步估计得到本底信号主要来源是环境 $\gamma$ 粒子。宇宙线 $\mu$ 子等在计数率层面上占比较小。

本研究通过便携式**碲锌镉探测器**测量环境γ能谱, 贝叶斯迭代**Unfolding算法**还原环境γ通量谱。<mark>辅</mark> 助低温晶体量热器屏蔽体设计,减少事例堆积。



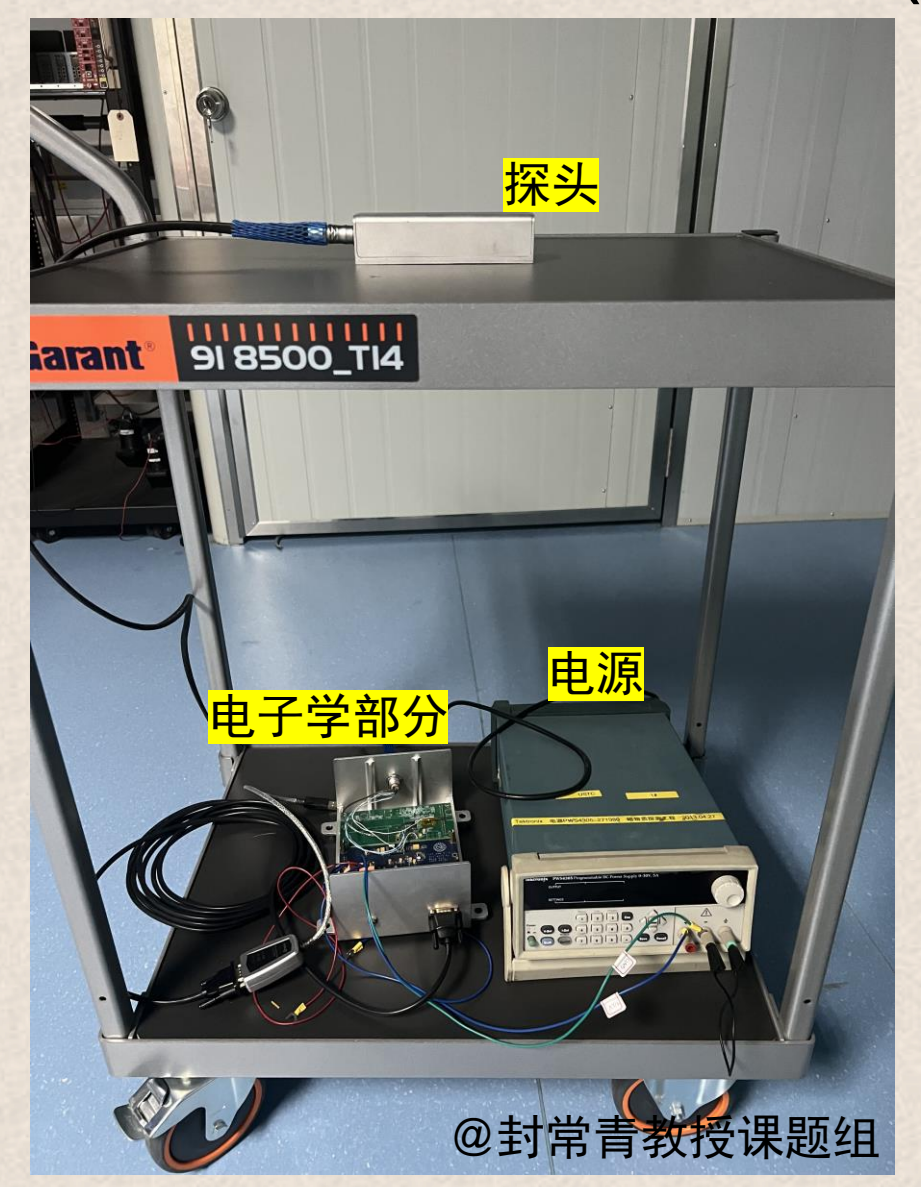
### 目录



- >碲锌镉探测器探测实验室环境γ能谱
- > 碲锌镉探测器建模
- >贝叶斯迭代Unfolding算法还原环境γ本底通量谱
- ▶屏蔽体效果评估
- ▶总结与展望

# 便携式碲锌镉(CdZnTe, CZT)探测器





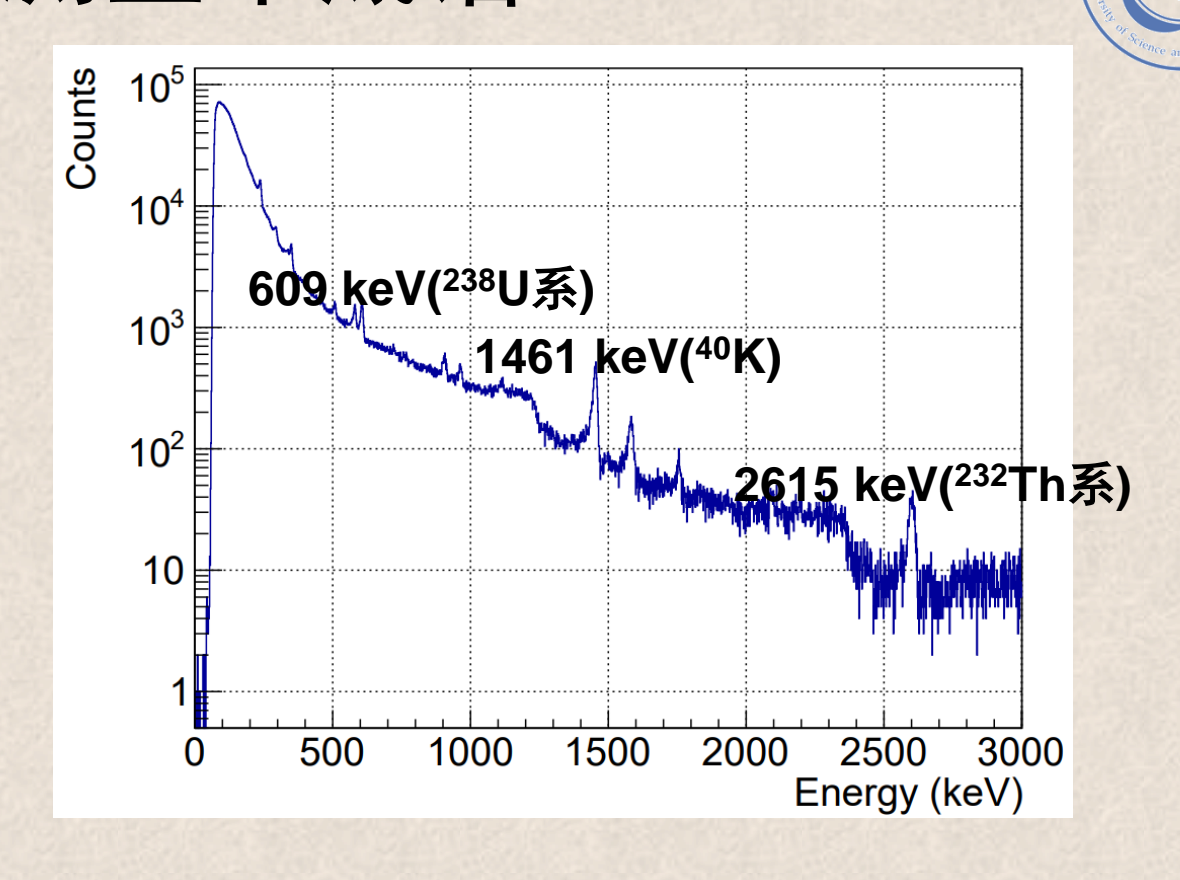


- ・便携
- 可在常温下工作
- 能量分辨率较好

可以非常方便地应用于γ能谱测量

# CZT探测器测量本底谱



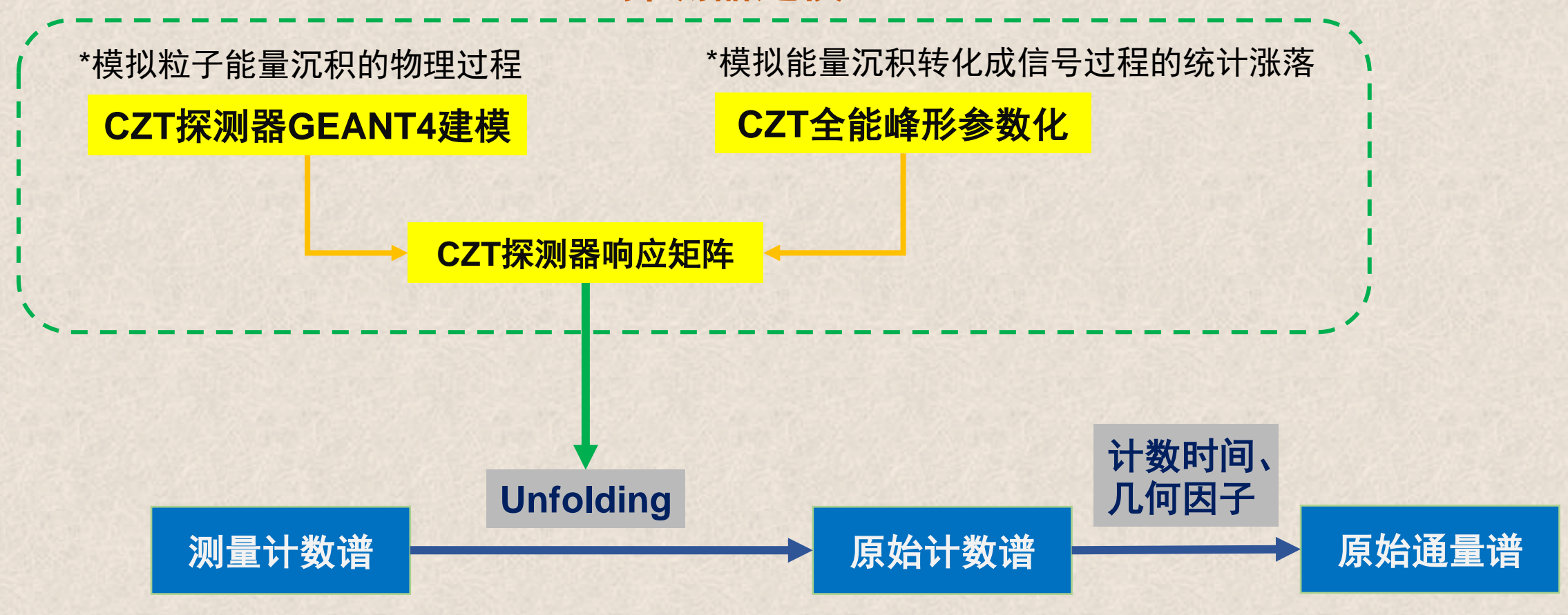


- · 探头靠近制冷机,测量时间434 h
- · 能谱上有清晰的峰,来源于某些元素的特征γ谱线
- 测得的谱并非原始谱,受到光子与CZT探测器作用物理过程的影响。需要其他手段还原原始通量谱

## 测量能谱解谱步骤



#### CZT探测器建模



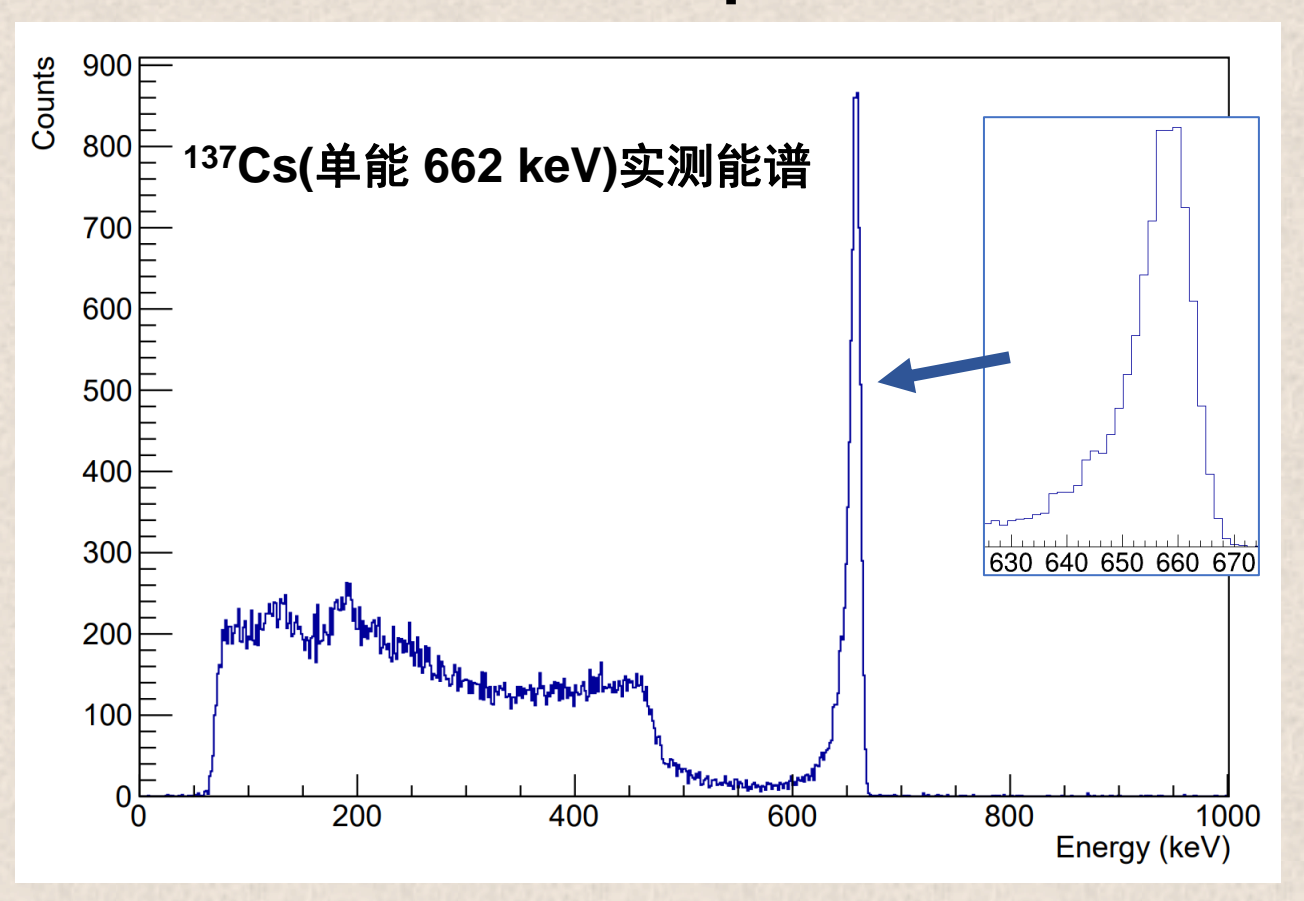
### 目录



- ▶碲锌镉探测器探测实验室环境γ能谱
- > 碲锌镉探测器建模
- >贝叶斯迭代Unfolding算法还原环境γ本底通量谱
- ▶屏蔽体效果评估
- ▶总结与展望

# CZT探测器γ能谱特征

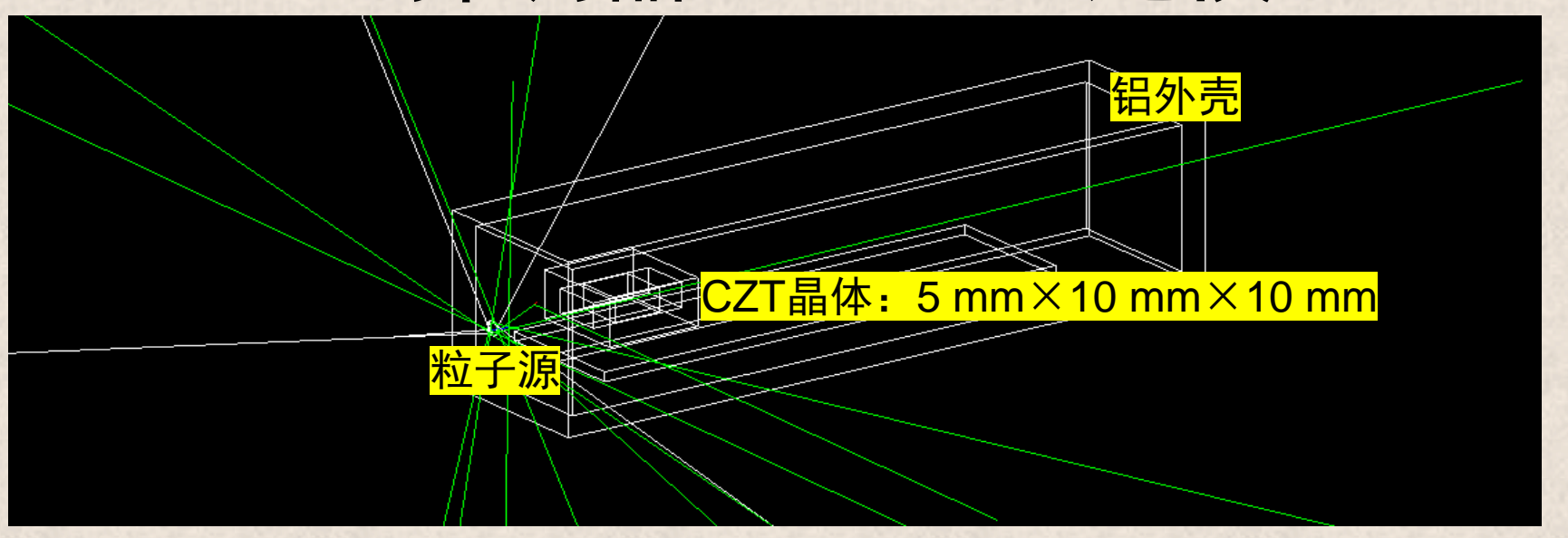




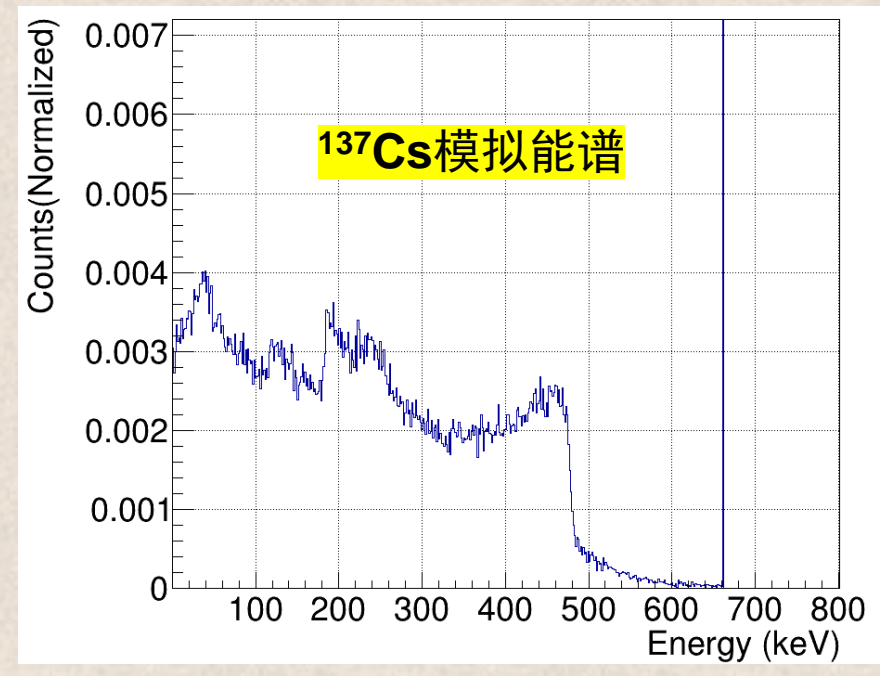
- 载流子复合导致全能峰不对称,有明显的低能拖尾,给解谱带来困难(不能直接使用高斯函数拟合)
- 除全能峰外的其他结构(康普顿连续谱、逃逸峰等)也需要在模拟中进行还原

# CZT探测器GEANT4建模





- · 在GEANT4中,只统计γ粒子穿过探测器的能量沉积
- 此处粒子源选用放射性核素<sup>137</sup>Cs,发出 662 keV的单能γ射线
- · GEANT4模拟可还原γ能谱结构,但未考虑相同能量沉积下信号幅度的统计涨落,全能峰呈线状



### CZT全能峰形参数化

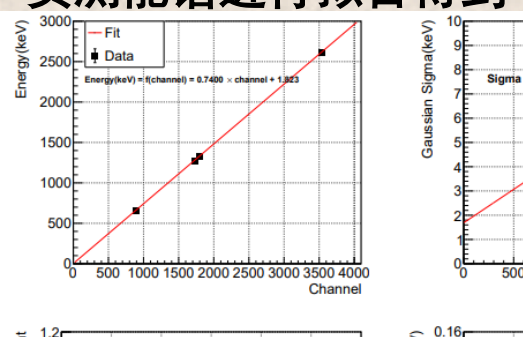
1958 Indiana Technologia

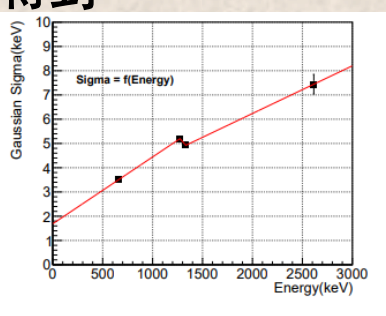
- · CZT晶体的载流子复合效应导致能量沉积->道址的统计涨落 不仅有高斯分布展宽,还有明显的低能拖尾
- 使用经验公式描述峰形:

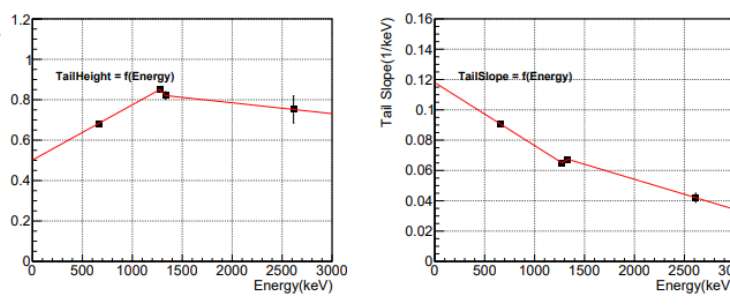
$$N_i = N_0 \left[ e^{-(\epsilon_i - \epsilon_0)^2 / (\sqrt{2}\sigma)^2} + T(\epsilon_i) \right]$$
$$T(\epsilon_i) = A e^{B(\epsilon_i - \epsilon_0)} \left[ 1 - e^{-(\epsilon_i - \epsilon_0)^2 / (\sqrt{2}\sigma)^2} \right] \delta$$

· 各个参数是能量沉积的函数,使用γ放射源(137Cs, 22Na等)

实测能谱进行拟合得到



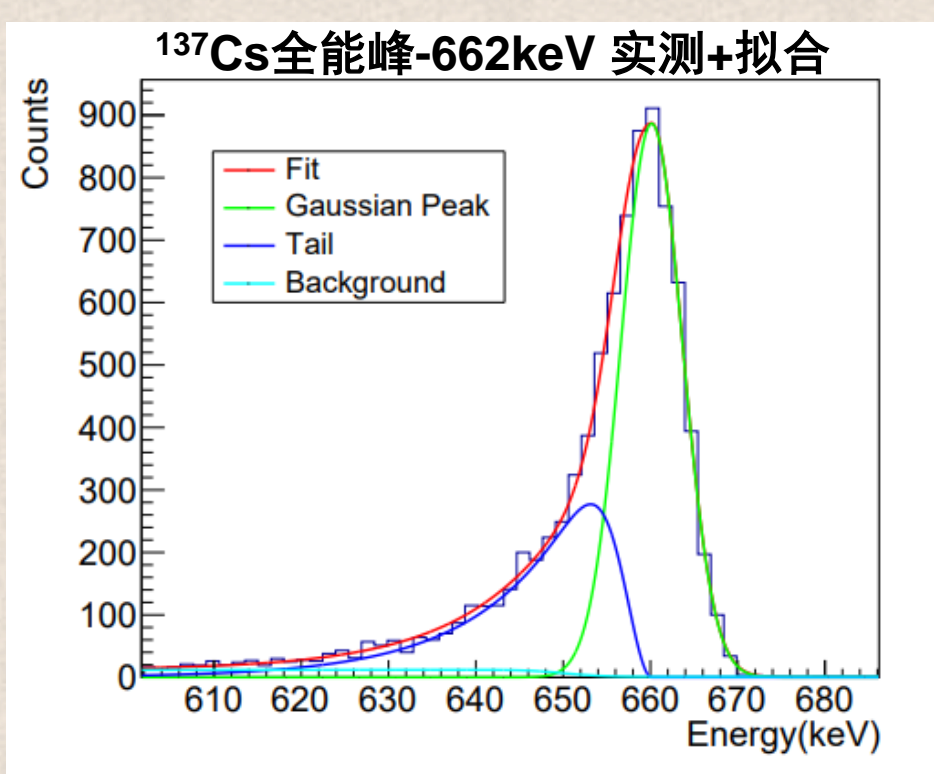




数	据点
放射源	能量(keV)
<sup>137</sup> Cs	661.7
<sup>22</sup> Na	1274.5
<sup>60</sup> Co	1332.5
<sup>208</sup> TI	2614.5

\*部分源有多个能量的γ射线,拟合时只取了最高能量对应的全能峰(本底较少)

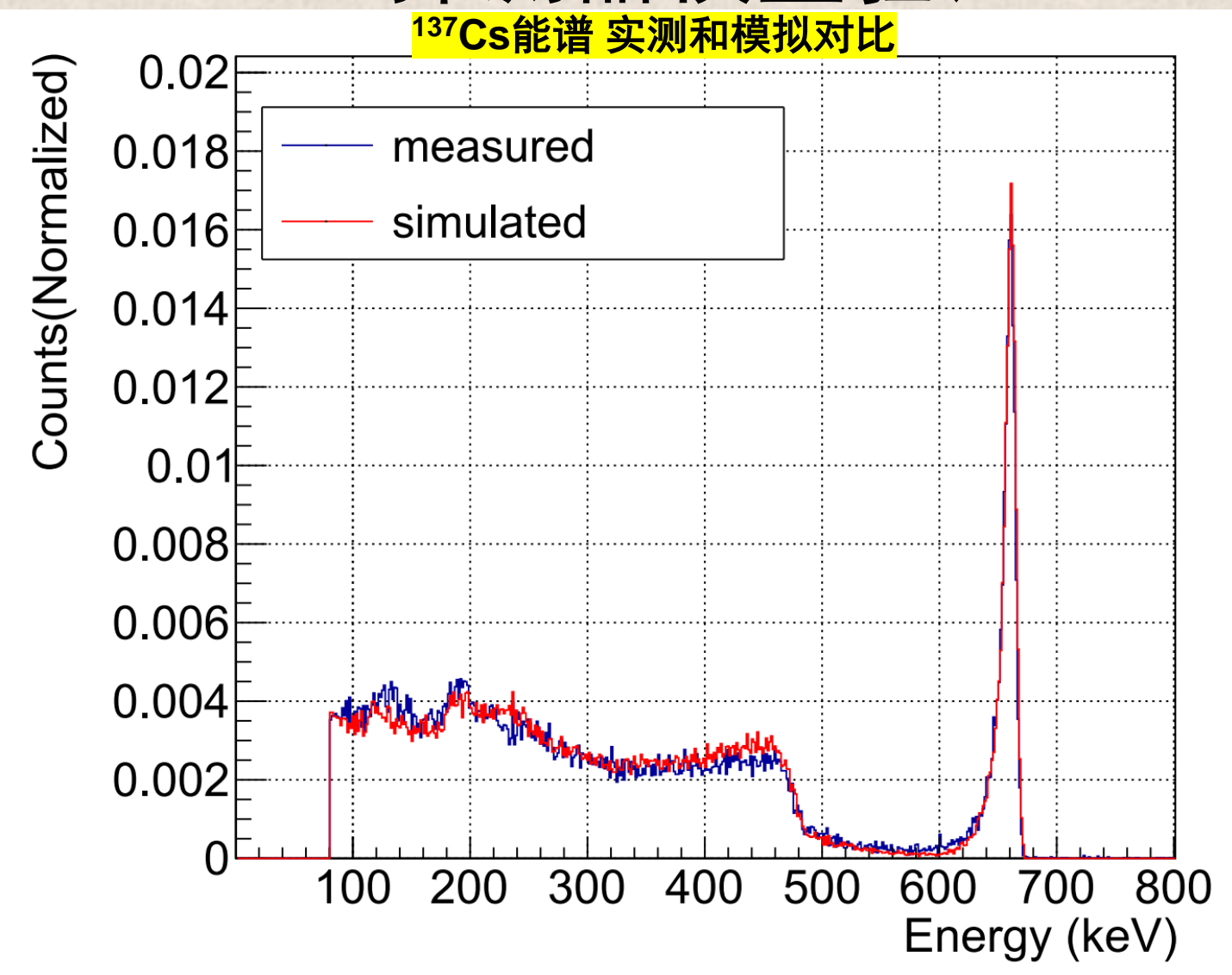




· 在GEANT4模拟中,给每一个事例的能量沉积添加一个符合上述分布的随机数,即可模拟出统计涨落

# CZT探测器模型验证





• 使用前述建模方法得到一个较好CZT模型。可用于蒙特卡洛法求unfolding需要的响应矩阵

### 目录



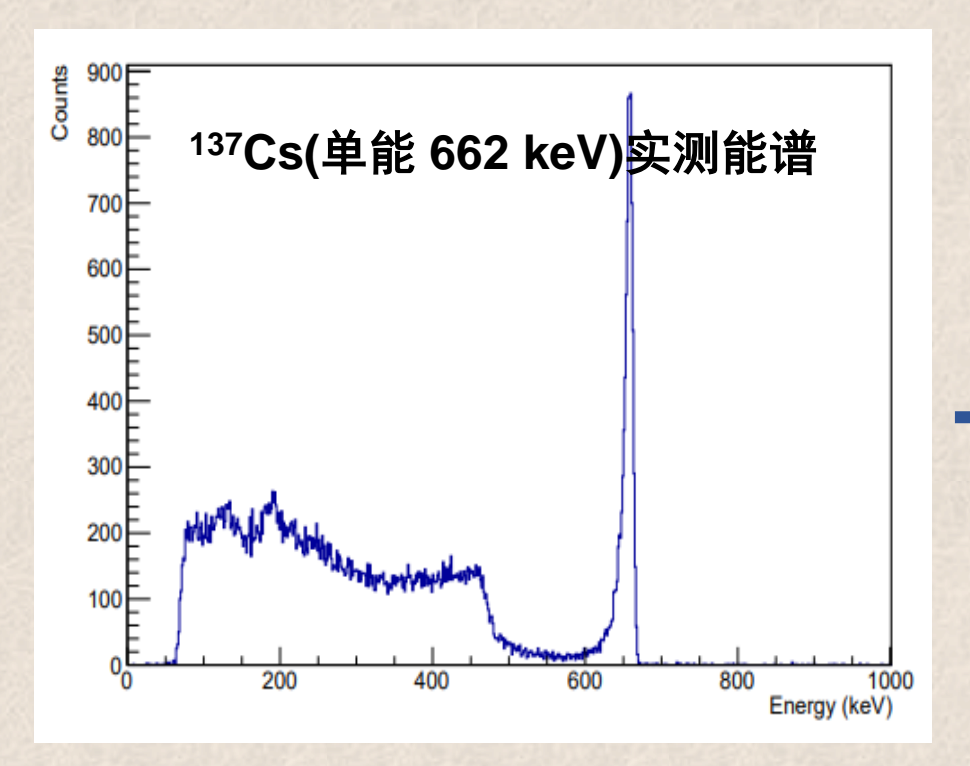
- ▶碲锌镉探测器探测实验室环境γ能谱
- > 碲锌镉探测器建模
- ➤贝叶斯迭代Unfolding算法还原环境γ本底通量谱
- ▶屏蔽体效果评估
- ▶总结与展望

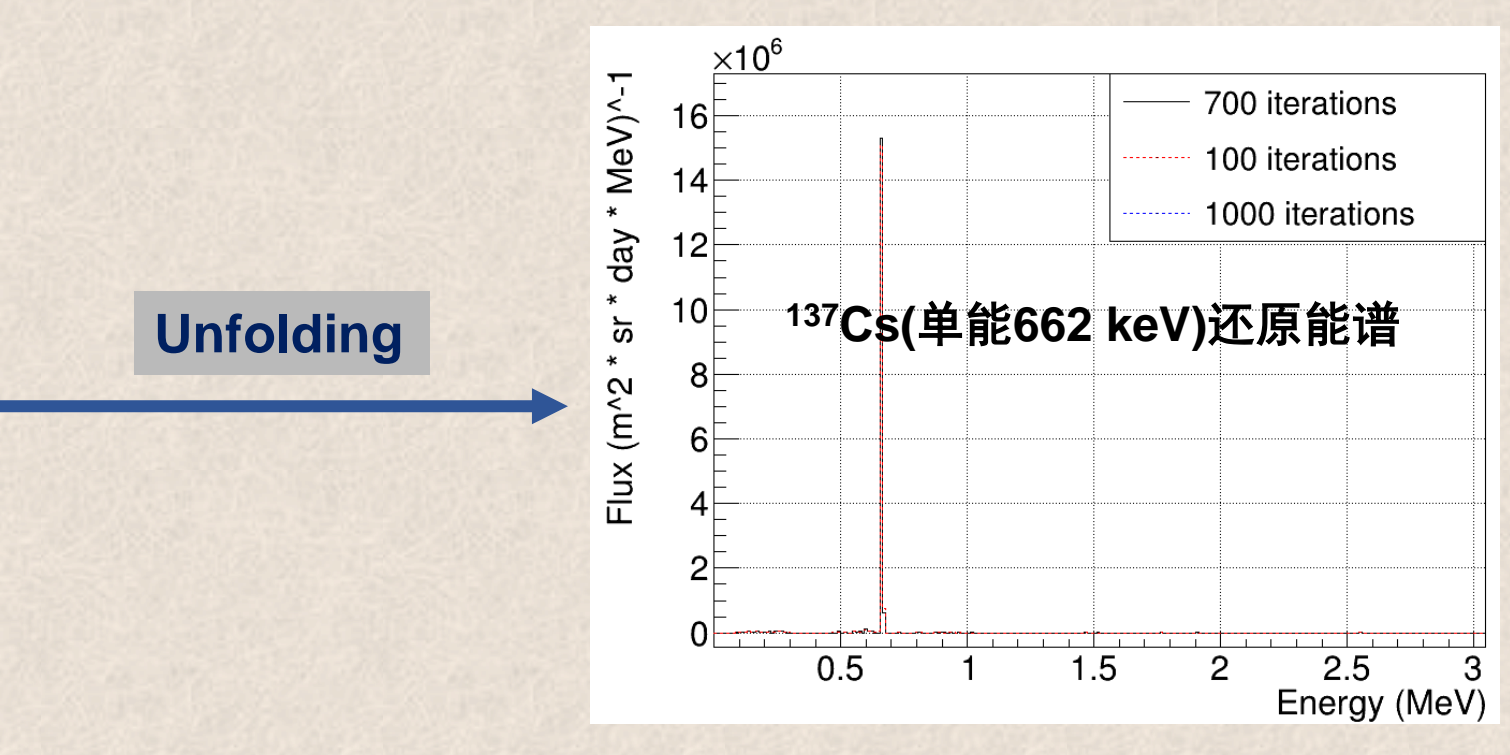
# Unfolding方法目标



- · 即使是单能γ射线入射,测量能谱也会出现康普顿连续谱等结构(部分能量沉积),以及统计涨 落展宽。总计数率还需考虑探测器效率
- · Unfolding方法的目的: 从测量能谱还原出与探测器作用前γ射线的原始能谱

#### 例: <sup>137</sup>Cs能谱





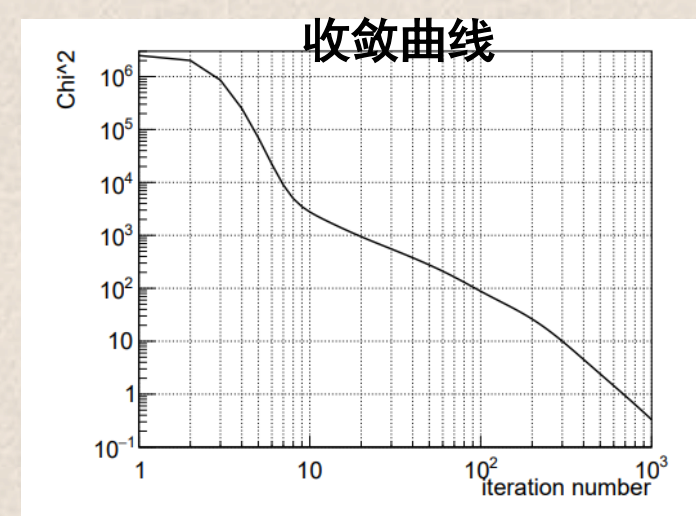
# 贝叶斯迭代Unfolding算法

- a) 通过蒙特卡洛方法估计 $P(E^j_{obs}|E^i_{true})$ (条件概率:真实能量为 $E^i_{true}$ 区间的粒子在测量能谱中产生能量为 $E^j_{obs}$ 区间的事例的几率,i,j是直方图区间序号),以及探测器对能量为 $E^i_{true}$ 区间的粒子的探测效率 $\epsilon_i$
- b) 再通过贝叶斯公式逆向计算 $P(E_{\text{tru}e}^i|E_{obs}^j)$ (条件概率:测量能谱中能量为 $E_{obs}^j$ 区间的事例是由真实能量为 $E_{true}^i$ 区间的粒子产生的几率) $P(E_{true}^i|E_{obs}^j) = \frac{P(E_{obs}^j|E_{true}^i)P_o(E_{true}^i)}{\sum_{l=1}^{n_B}P(E_{obs}^j|E_{true}^l)P_o(E_{true}^l)}$
- c) 最后可由 $P(E_{\text{true}}^i|E_{obs}^j)$ 和测量能谱估计原始能谱

$$\hat{N}(E_{true}^i) = \frac{1}{\epsilon_i} \sum_{j=1}^{n_B} N(E_{obs}^j) P(E_{true}^i | E_{obs}^j)$$

d) 在使用贝叶斯公式时, $P_o\left(E_{true}^i\right)$ 是以概率表示的粒子的原始能谱,是未知的(最终目标)。因此需人为设定起始 $P_o\left(E_{true}^i\right)$ ,然后 b) c)两步迭代进行,直至收敛。收敛条件是迭代第n步时前后结果差距足够小(chi2)

- 迭代初始分布不会影响最终结果, 一般从均匀分布开始
- 算法非常稳定,输入能谱的小统计涨落不会引起结果的振荡



## CZT探测器响应矩阵

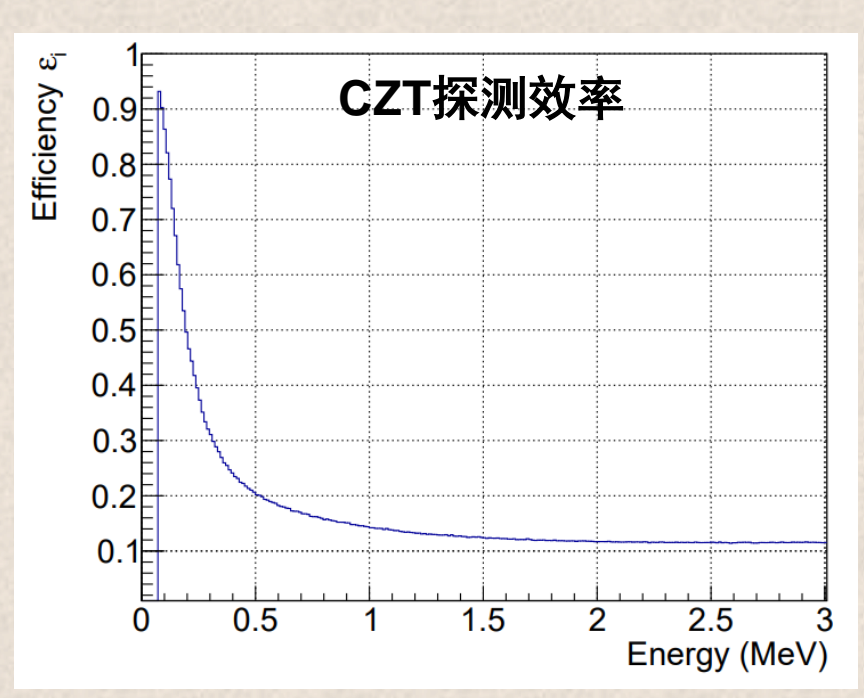


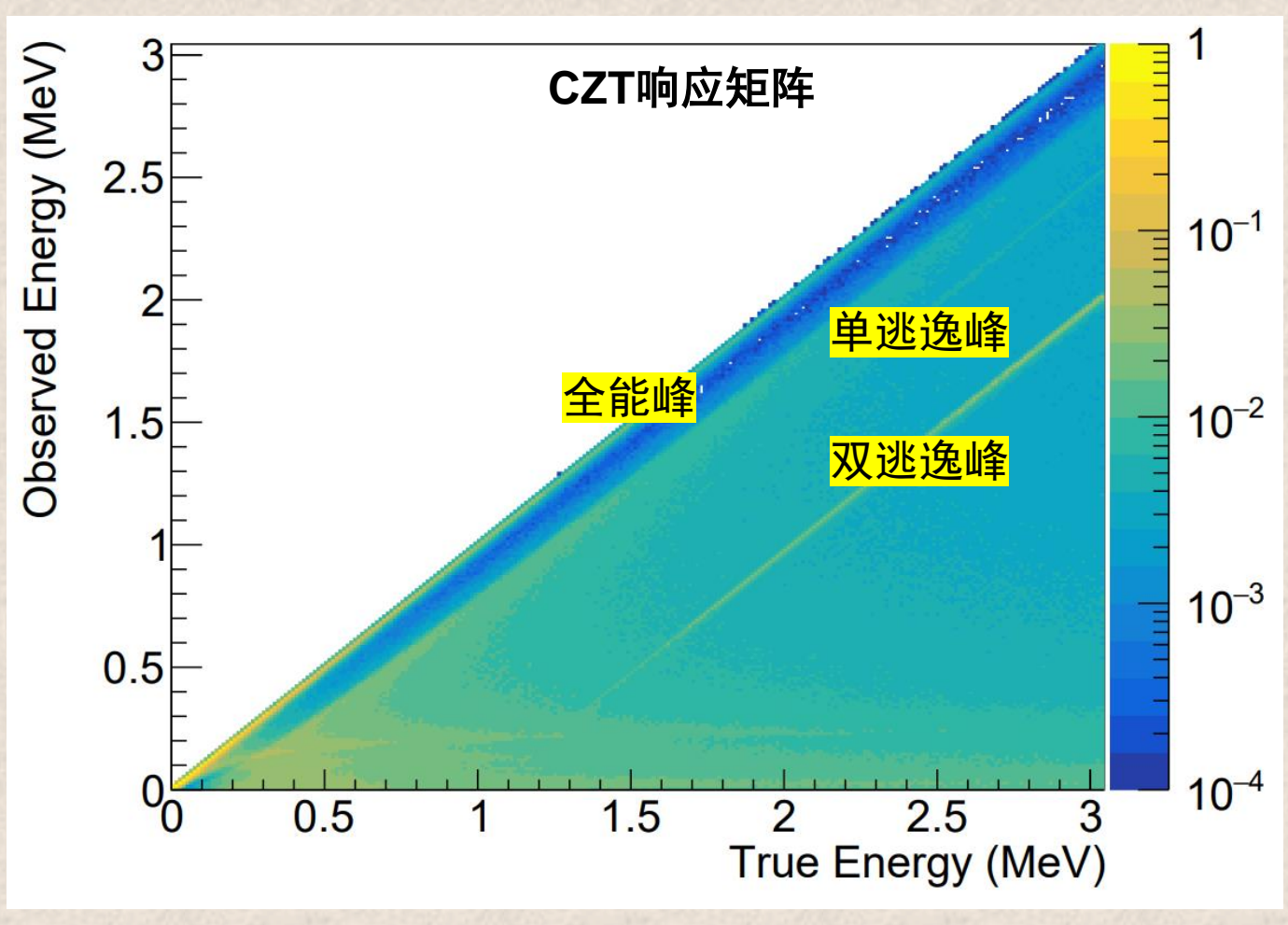
· 在GEANT4中建立CZT模型,蒙特卡洛方法求得

• 矩阵元 $R_{ij}$ : 条件概率 $P(E_{obs}^{j}|E_{true}^{i})$ 

• 对角元: 能量完全沉积, 全能峰

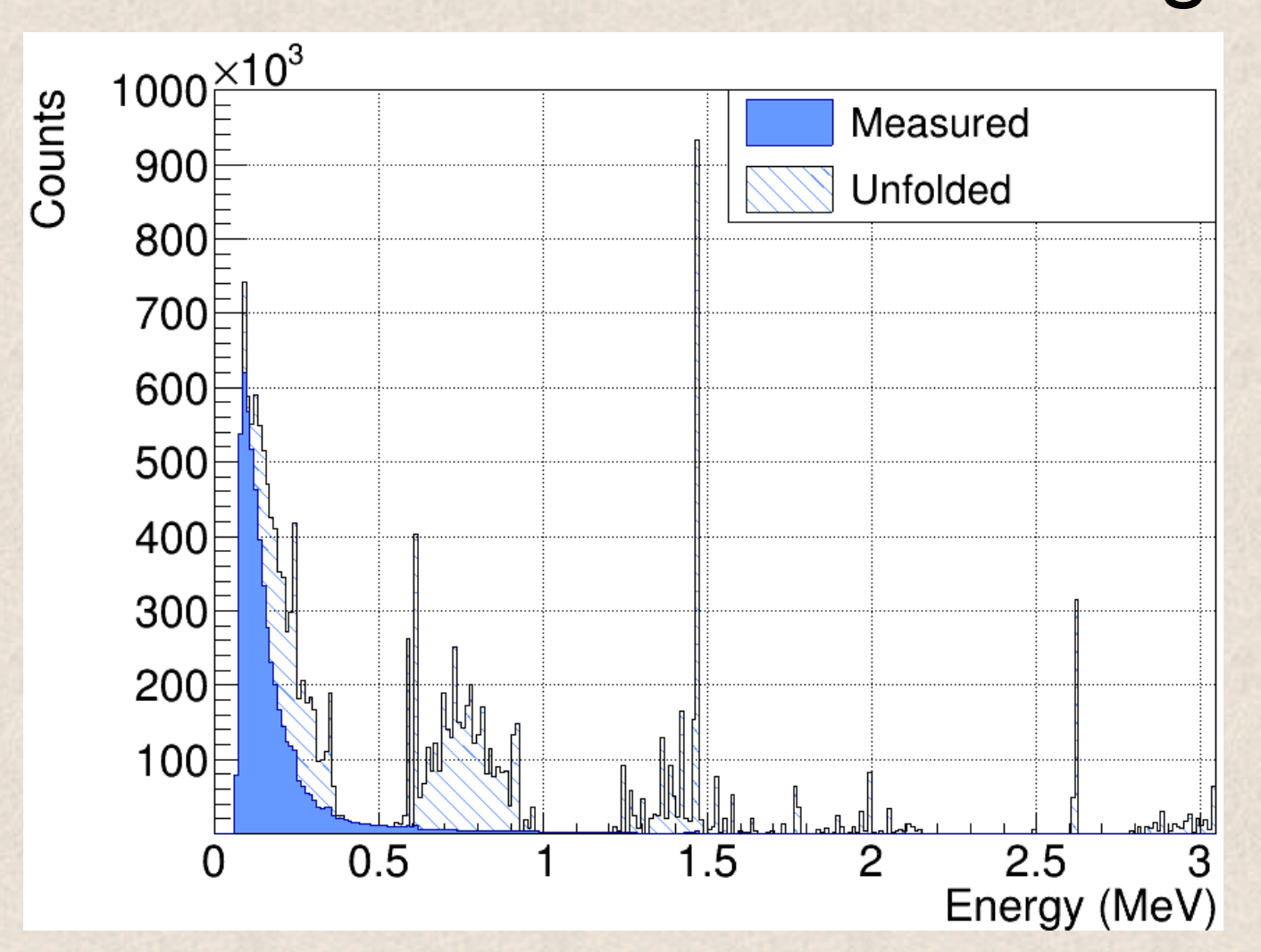
非对角元:能量部分沉积,如康普顿连续谱,双逃逸峰等





# Unfolding计数谱

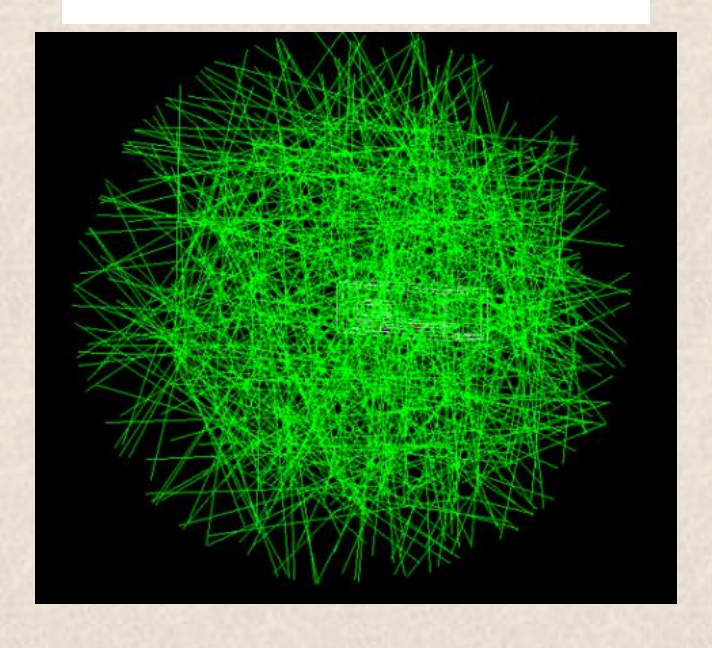




• 原始能谱和直接测量的能谱有显著差异

#### 计数转化为通量

$$\hat{\Phi}(E^i_{true}) = \frac{\hat{N}(E^i_{true})}{T \cdot A}$$



- · 引入近似: γ本底通量空间各向同性(验证方法: CZT加准直孔测量不同方向的计数率)
- T是测量时间,A是CZT探测器的几何因子, 可以通过蒙卡估计

# Unfolding结果



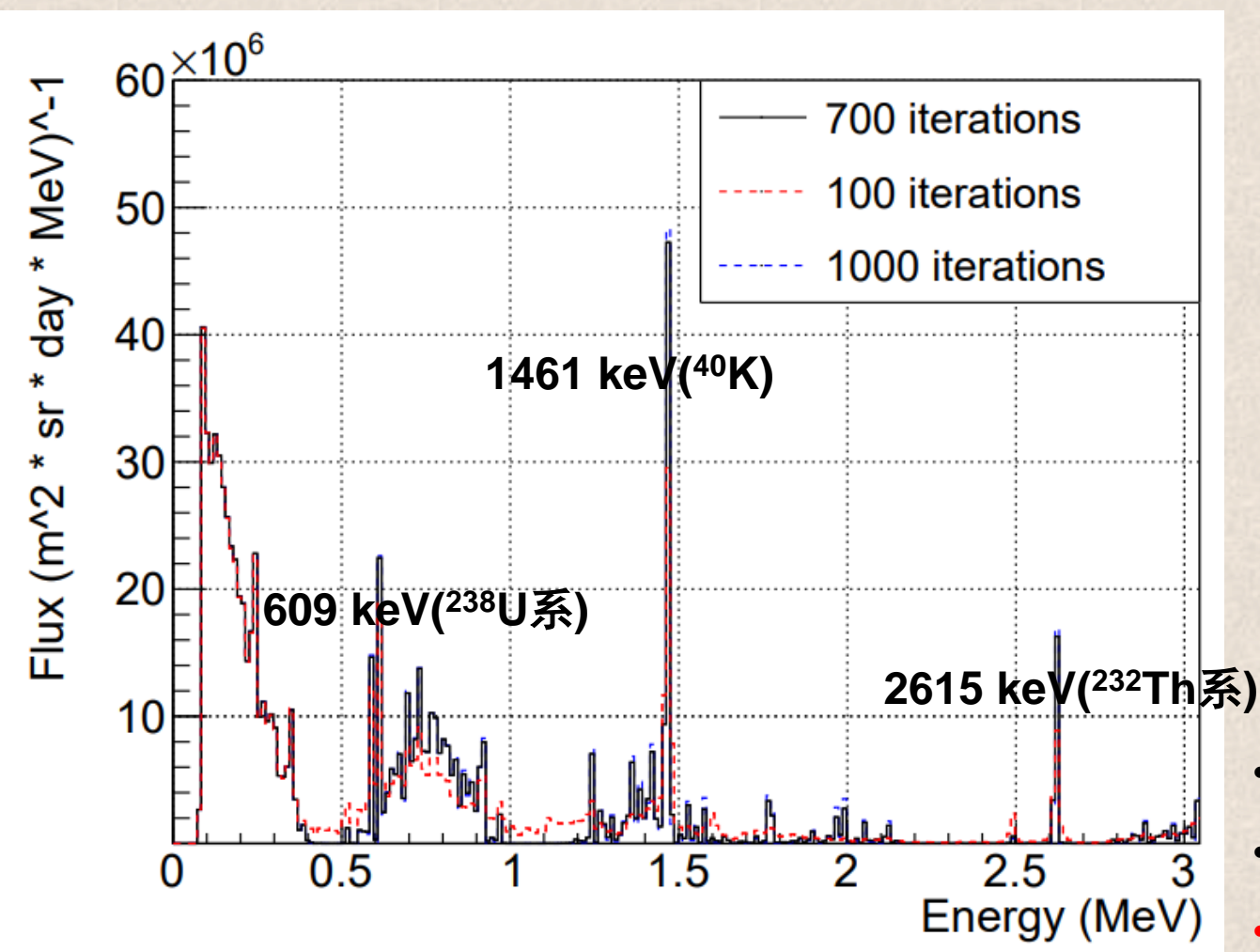


表 5.1 <sup>232</sup>Th 放射性核素系主要γ射线。

Isotope	E (keV)	Intensity (%)
<sup>228</sup> Ac	338.320	11.27
<sup>228</sup> Ac	911.204	25.80
<sup>228</sup> Ac	968.971	15.80
<sup>212</sup> Pb	238.632	43.30
<sup>212</sup> Bi	727.330	6.58
<sup>208</sup> Tl	277.351	6.31
<sup>208</sup> Tl	510.770	22.60
<sup>208</sup> T1	583.191	84.50
<sup>208</sup> Tl	860.564	12.42
<sup>208</sup> Tl	2614.533	99.00

表 5.2 <sup>238</sup>U 放射性核素系主要γ射线。

Isotope	E (keV)	Intensity (%)
<sup>226</sup> Ra	186.211	3.59
<sup>214</sup> Pb	241.997	7.43
<sup>214</sup> Pb	295.224	19.30
<sup>214</sup> Pb	351.932	37.60
<sup>214</sup> Bi	609.312	46.10
<sup>214</sup> Bi	768.356	4.94
<sup>214</sup> Bi	934.061	3.03
<sup>214</sup> Bi	1120.287	15.10
<sup>214</sup> Bi	1238.110	5.79
<sup>214</sup> Bi	1377.669	4.00
<sup>214</sup> Bi	1764.494	15.40
<sup>214</sup> Bi	2204.210	5.08

- · 有明显的特征γ谱线,来自40K以及232Th/238U系衰变
- 0~3 MeV γ本底通量,数量级大约 10<sup>8</sup> (m<sup>2</sup> · sr · day)<sup>-1</sup>
- ·以unfolding结果作为模拟输入能谱,评估屏蔽体效果

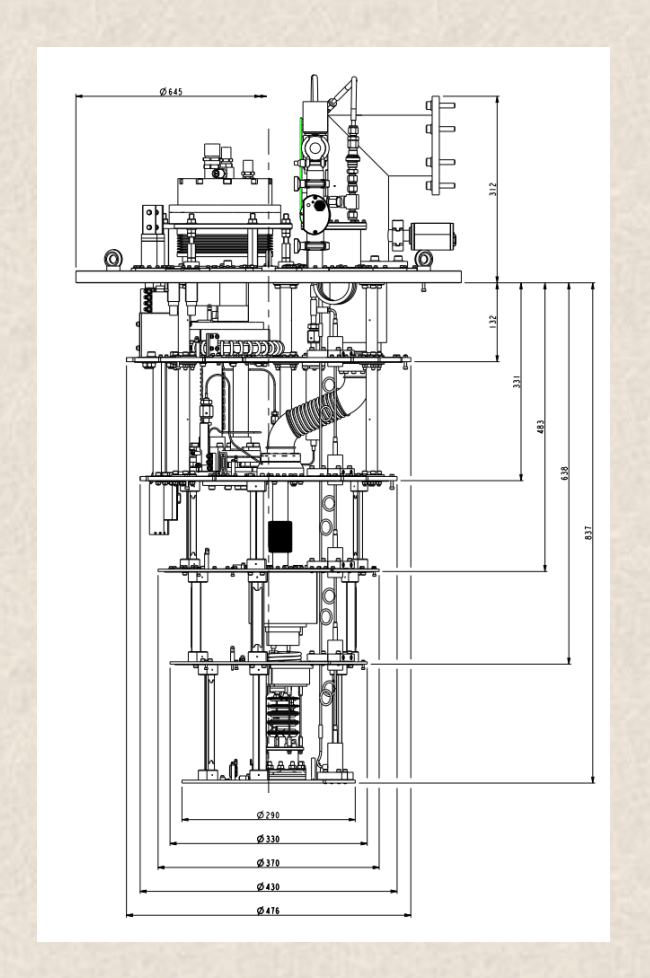
### 目录

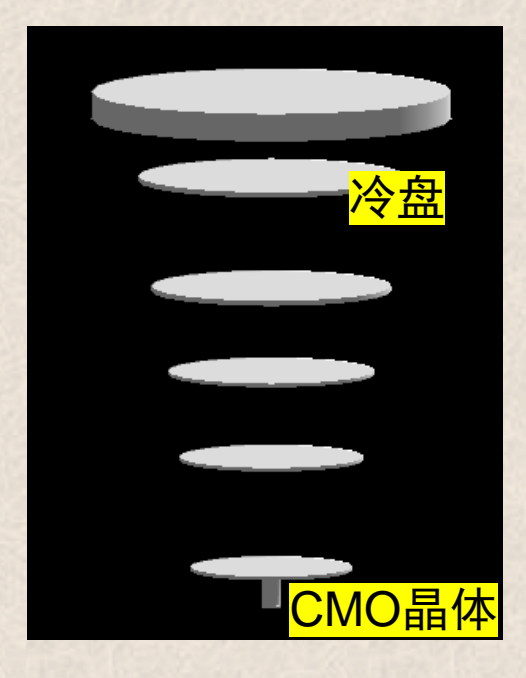


- ▶碲锌镉探测器探测实验室环境γ能谱
- > 碲锌镉探测器建模
- >贝叶斯迭代Unfolding算法还原环境γ本底通量谱
- ▶屏蔽体效果评估
- ▶总结与展望

# 评估本底水平



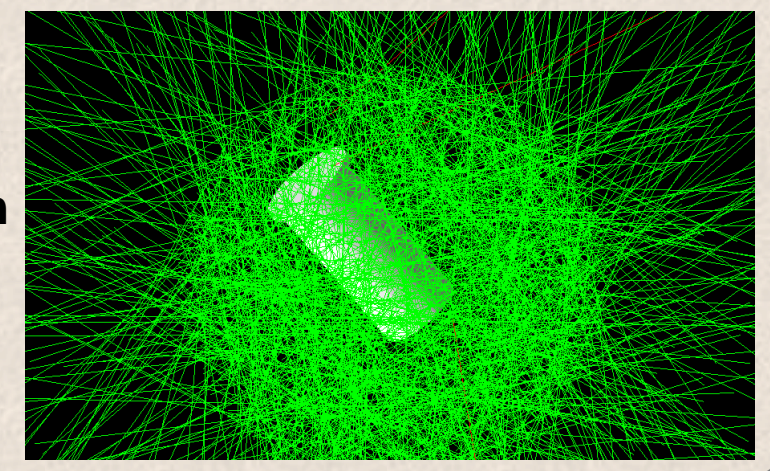






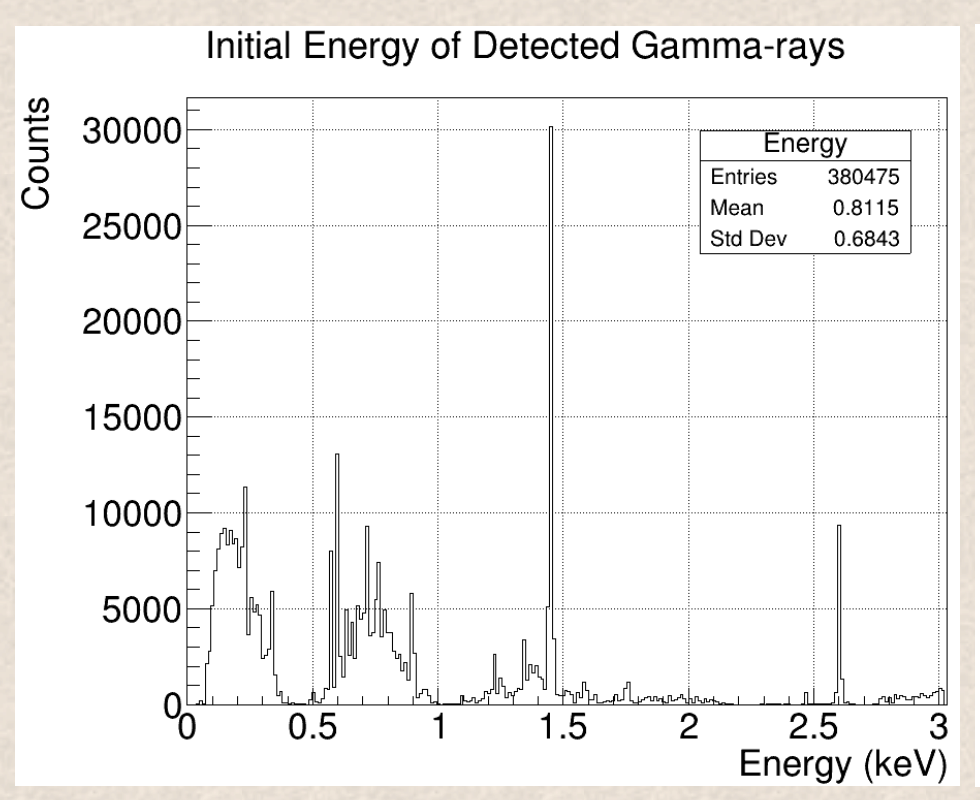


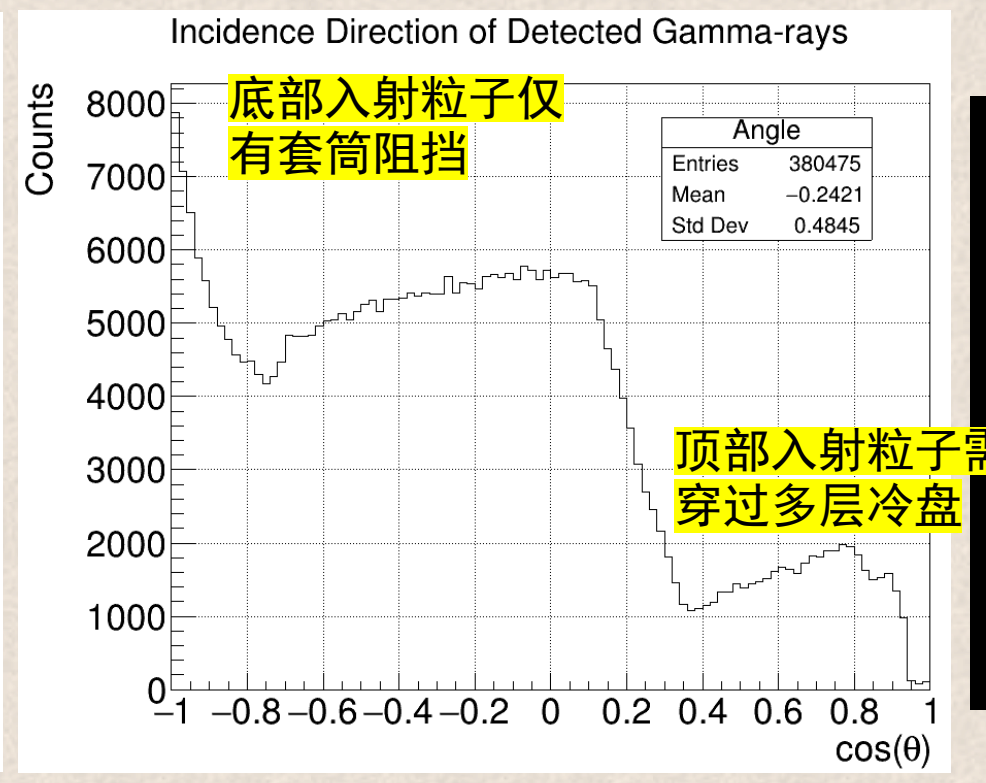
- · 在GEANT4中建立制冷机模型,包括冷盘、 套筒、CMO晶体
- · 顶部开口的铅屏蔽体,厚度10 cm,高1.5 m
- · γ粒子入射,能谱使用unfolding结果

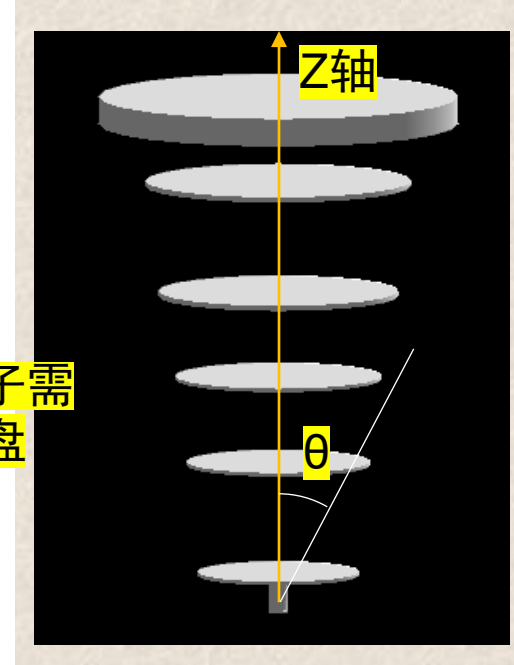


### 无屏蔽时的本底水平





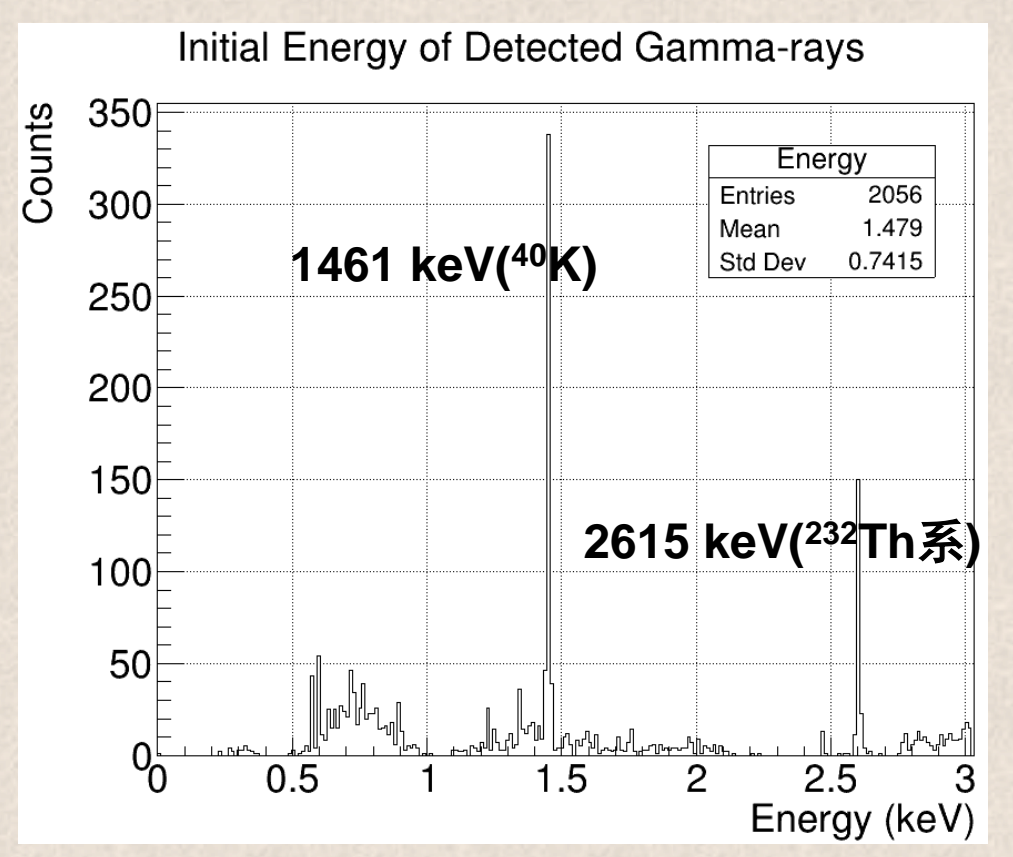


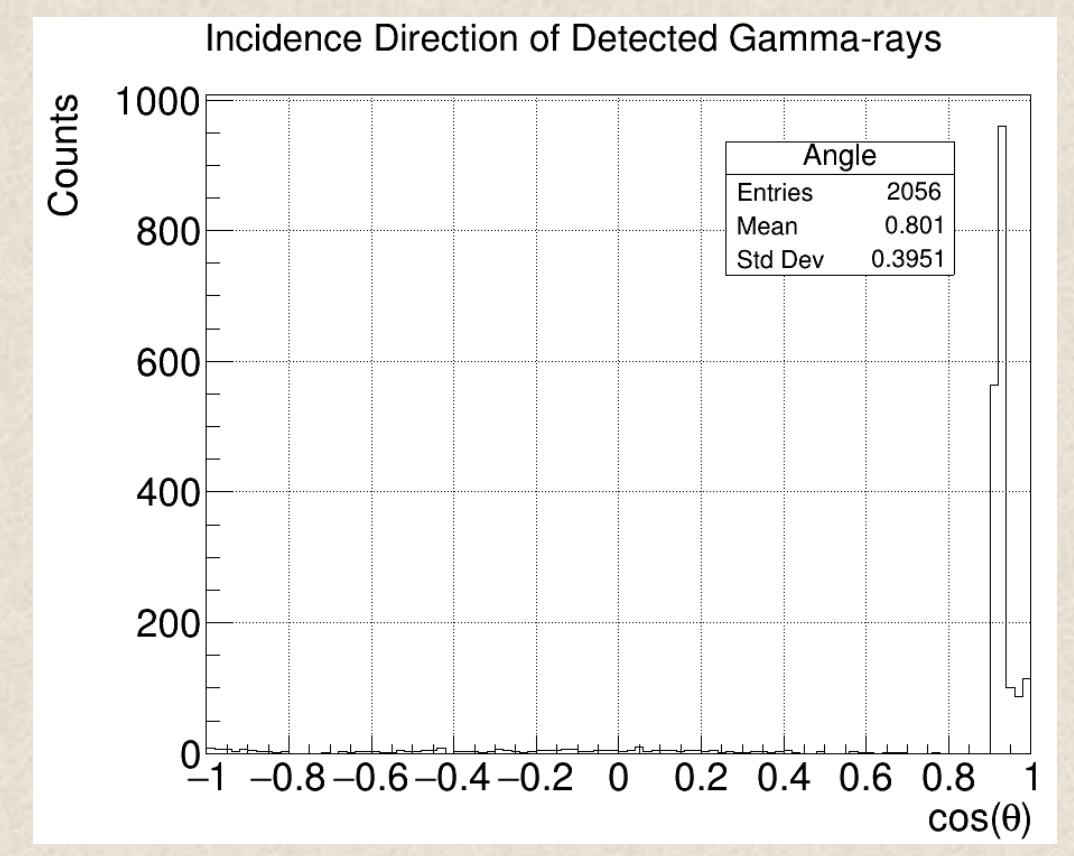


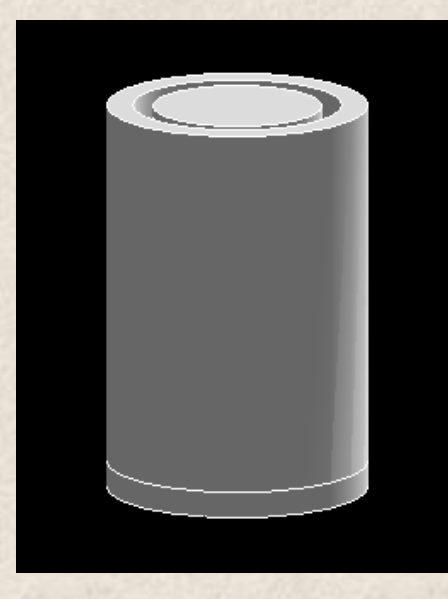
- · 计算得本底计数率约37 Hz, 和实测接近, 可作为验证γ本底谱正确性的手段
- 制冷机自屏蔽(主要是套筒和冷盘)可起到一定作用

## 10 cm铅屏蔽的效果







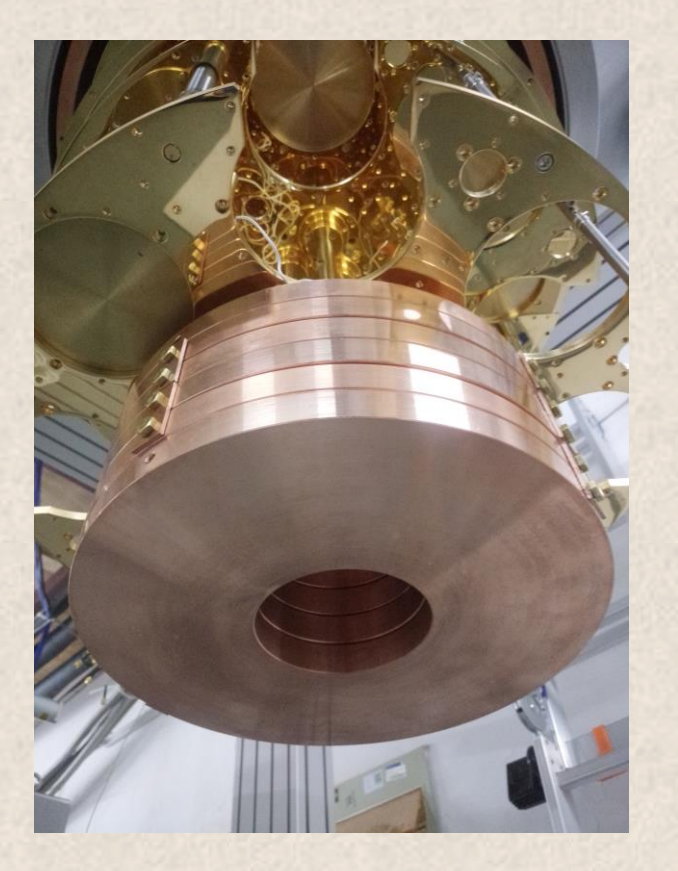


- 10 cm厚铅屏蔽,模拟中环境本底事例率降低约2个数量级
- · 穿过屏蔽的γ射线主要来源:
  - 能量: 高能γ光子与物质作用截面偏小, 穿透性更强
  - 角度: 屏蔽体立体角非4π, 部分光子从没有屏蔽的角度射入(顶部)

# 展望







- 多种屏蔽体建设方案(水屏蔽、铅屏蔽、铜屏蔽等),可使用此方法进行效果评估, 结合成本问题选择
- 还需要考虑屏蔽材料本身的放射性(如铅-210); 其他本底来源
- 减少事例堆积现象,稳定读出信号

### 总结

1958 Indiana and remarks

· 使用便携式碲锌镉探测器探测环境γ能谱

• 通过碲锌镉探测器蒙特卡洛模拟,使用贝叶斯迭代unfolding方法从实测能谱

还原环境γ本底通量谱

• 使用本底通量谱评估屏蔽体效果

• 目标:解决事例堆积问题

实验所用仪器便携性好,软件包基本完成,

可方便地应用于不同地点γ本底的测量

# Thanks!



